

خواص مکانیکی آمیخته پلی پروپیلن بازیافته با قیرهای دمیده و نرم

وحید حدادی^۱, علی اکبر یوسفی^{۲,۳*}, مسعود تقی گنجی^۴, مرتضی خسروی^۴

۱- تهران، دانشگاه آزاد اسلامی، واحد تهران اسلامشهر، صندوق پستی ۳۳۱۳۵۳۶۹

۲- تهران، پژوهشکده صنایع رنگ، صندوق پستی ۱۶۷۶۵/۶۵۴

۳- تهران، پژوهشگاه پلیمر و پتروشیمی ایران، صندوق پستی ۱۴۹۶۵/۱۱۵

۴- تهران، دانشگاه آزاد اسلامی، واحد تهران شمال، صندوق پستی ۱۹۵۸۵/۹۳۶

دریافت: ۸۶/۳/۲، پذیرش: ۸۶/۵/۲۷



مجله علوم و تکنولوژی پلیمر،
سال بیستم، شماره ۶، صفحه ۱۳۸۶، ۵۳۹-۵۵۰

ISSN : 1016-3255

چکیده

در این پژوهش، برای اولین بار رفتار مکانیکی آمیخته قیردمیده ۱۱۰/۱۰ (درجه نفوذ ۱۰ دهم میلی‌متر و نقطه نرمی 110°C) در مقابل افزایش رزین‌ها، قیر ۶۰/۷۰ (درجه نفوذ ۷۰ دهم میلی‌متر) و پلیمر تک نظم پلی‌پروپیلن (iPP) بازیافته مورد بررسی قرار گرفت. بررسی نتایج نشان می‌دهد که نه تنها مدول مخلوط قیرها با آسفالت‌نها رفتار غیرخطی دارد، بلکه برخلاف انتظار در برخی نقاط پیک‌هایی نیز مشاهده می‌شوند. در ضمن در غیاب iPP، پیدایش رفتارهای غیرمنتظره مربوط به برهم‌کنش‌های بین آسفالت‌نها در شرایط و غلظت‌های مختلف است و کاملاً تحت تاثیر نوع و غلظت قیرهایی با نقطه نرمی کمتر و روان‌کنندهایی همچون H.V.S(heavy vacuum slrops) است. همچنین مشخص شد، آسفالت‌نها در انتهای عبور از حالت گذار (مرز انحلال پذیری) به طور ناگهانی برهم‌کنش‌های نسبتاً قوی‌تری با یک‌دیگر برقرار می‌کنند و به ازای افزایش ۵ درصد H.V.S، حالت گذار در ۱۵ درصد قیر دمیده بیشتر اتفاق می‌افتد. از ارتباط این رفتارها با انرژی هم‌چسبی، طول همبستگی بین آسفالت‌ها و تغییراتی که طی اختلاط با رزین‌ها و قیرهای نرم‌تر به وجود می‌آید، می‌توان رفتارهای بعدی را نیز پیش‌بینی کرد. افزایش غلظت‌های کم iPP به مخلوط‌های قیری در غلظت‌های زیاد آسفالت‌نها، شبکه مجزای آسفالت‌نی را ایجاد می‌کند که مدول رزین را افزایش می‌دهد. در غلظت‌های زیاد iPP و درصدهای کم آسفالت‌نها پدیده به هم پیوستگی در هم نفوذی موجب ایجاد ساختارهای حدوداً متساوی می‌شود که شبکه تغییرات مدول آمیزه‌هارا کاهش می‌دهد. در نهایت مشاهده شد که افزایش iPP مدول آمیزه‌هارا افزایش دارد و موجب بهبود مقاومت کشسانی آمیزه‌ها می‌شود.

واژه‌های کلیدی

پلی‌پروپیلن بازیافته، آمیخته، خواص مکانیکی، آسفالت، به هم پیوستگی در هم نفوذی

*مسئول مکاتبات، پایان‌نگار:

a.yousefi@ippi.ac.ir

Mechanical Properties of the Blends of Recycled Polypropylene with Blown and Soft Bitumens

V. Hadadi¹, A.A. Yousefi^{*2,3}, M.T. Ganji⁴ and M. Khosravi⁴

1. Islamshahr Azad University, P.O. Box: 33135/369, Tehran, Iran

2. Institute for Colorants, Paint and Coating, P.O. Box: 16765/654, Tehran, Iran

3. Iran Polymer and Petrochemical Institute, P.O. Box: 14965/115, Tehran, Iran

4. Tehran-North Azad University, P.O. Box: 19585/936, Tehran, Iran

Abstract

In this investigation, the mechanical properties of the blends of blown bitumen 110/10, heavy vacuum slrops (H.V.S), bitumen 60/70 penetration grade and isotactic polypropylene (iPP) were studied for the first time. Our results showed that modulus varies non-linearly and at certain asphaltenes contents a peak appears. Considering these phenomena it is revealed that in the absence of iPP, interactions between the asphaltenes control the modulus of the blends. These interactions are dependent on the H.V.S and soft bitumen contents. The asphaltenes establish strong interactions with other asphaltene groups during dissolution in H.V.S or bitumen 60/70 (called solubility limit). At low percentages of iPP and high concentrations of asphaltenes a segregated network of asphaltenes is formed. Formation of this network increases the modulus of blends. At higher percentages of iPP and low asphaltenes concentration an interdiffusion-coalescence network is established. This network creates transition structures and increases the blend modulus. Finally, it is found that incorporation of iPP improves the modulus of bituminous blends.

Key Words

recycled polypropylene, blend, mechanical properties, asphaltene, interdiffusion-coalescence

(*) To whom correspondence should be addressed.

E-mail: a.yousefi@ippi.ac.ir

مقدمه

انجام آزمایش در 25°C دارند. تنها به این دلیل که تغییرات دما به طور عمده بر رزین قیری این عایق‌ها اثر می‌گذارد. از طرفی، الیاف پلیمری به کار رفته در عایق‌های رطوبتی مانند الیاف پلی‌استر، مدول آغازی بسیار کمی (0.02 kg/cm^2) دارند. اما، عایق‌های تهیه شده از آنها با وجود این که کسر حجمی الیاف در آنها کاهش می‌یابد، مدولی بسیار بیشتر تا 6.5 kg/cm^2 در حضور پلی‌پروپیلن تک نظم (iPP) دارند. در این حالت نمی‌توان اثر رزین قیری بر این نوع الیاف را نادیده گرفت. این الیاف زمانی در برابر نیروهای کششی مقاومت می‌کنند که در اثر کشش رشته‌های الیاف کاملاً به هم نزدیک شده و یک دیگر را تقویت کنند. در این شرایط، رزین قیری در منافذ الیاف نفوذ کرده و نیروهای اعمال شده را بهتر منتقل می‌کنند. در این میان، هرچه استحکام رزین بیشتر باشد، این انتقال بهتر انجام گرفته و الیاف زودتر و ادار به عکس العمل می‌شوند [۹]. این اثر و تقویت در مورد الیاف معدنی هم چون الیاف شیشه نیز باشد کمتر مشاهده می‌شود [۱۰]. در نتیجه، رزین قیری نقش افزایشی در رشد مدول الیاف به کار رفته در عایق‌های رطوبتی دارد و بررسی خواص مکانیکی آن علاوه بر بهینه سازی مدول عایق‌ها می‌تواند در کار صحيحی از رفتار این عایق‌ها را هنگام تغییر رزین قیری آنها ارائه دهد. با مطالعه خواص مکانیکی مخلوط قیرها می‌توان به نیروهای حاکم در بین ترکیبات قیری پی برد که موجب ایجاد انرژی‌های هم چسبی در بین آنها می‌شود. افزون بر این، اثر iPP در تقویت این نیروها و در نهایت تقویت مدول عایق‌ها مورد بررسی قرار گرفت. iPP علاوه بر بهبود خواص فیزیکی قیر تا اندازه‌ای خواص مکانیکی آن را نیز بهبود می‌بخشد. پوشش‌های قیری فقط برای مصارف بام و همراه با الیاف با مدول زیاد استفاده نمی‌شوند، بلکه ترکیبات قیری گاهی به عنوان درزگیر و گاهی در راه‌سازی بدون وجود الیاف پیوسته به کار می‌روند که خواص مکانیکی آنها بسیار اهمیت دارد. حال این سوال مطرح می‌شود که آیا ترکیبات قیری به تنهایی می‌توانند در برابر این نیروها مقاومت کنند، یا برای مقاومت نیاز به ترکیبات پلیمری با خواص کشسانی زیاد دارند. با وجود این که تجربه اثر زیاد پلیمر را در بهبود خواص مکانیکی قیرها و سایر ترکیبات اثبات نکرده است، ولی هیچ تحقیق منسجم و معتبری در مورد چگونگی و مقدار اثر این پلیمرها گزارش نشده است. هدف از این پژوهش، بررسی خواص مکانیکی مخلوط قیرها و مقدار اثر پلیمر iPP روی این ترکیبات قیری است.

از طرفی مدول یک کامپوزیت یا آمیخته پلیمری تغییر شکل آن ماده را در اثر تنش نشان می‌دهد. به عبارت دیگر، مدول یک خاصیت مکانیکی است که مقدار مقاومت یک ترکیب را قبل از تغییر آرایش‌های آن در اثر اعمال تنش نشان می‌دهد [۱۱، ۱۲]. با این توضیح مشخص است، افزون بر این که مقاومت کششی عایق بسیار مهم است، مقاومت و بازگشت آن به

یکی از کاربردهای گسترده‌های قیر در تهیه عایق‌های رطوبتی است که به شکل گرم ریز و سرد ریز مورد استفاده قرار می‌گیرند. از این میان عایق‌های رطوبتی پیش ساخته به دلیل کارایی و سهولت استفاده، کاربرد بیشتری در صنایع ساختمانی و صنعتی دارند. این عایق‌های رطوبتی پیش ساخته شامل سه بخش: ساختار زمینه عایق، بستر چسبنده و یک غشای ضد آب شامل الیاف تقویت کننده یا الیافی است که بین دو لایه انعطاف‌پذیر قیری محصور شده‌اند. این تقویت کننده‌ها شامل الیاف پلی‌استر گرم‌ترین پلی‌اتیلن ترفتالات (PET)، شیشه، یا هردو این الیاف هستند.

عایق‌های رطوبتی پیش ساخته هنگامی که روی سطوح مختلف اعمال می‌شوند، فشار و نیروی زیادی را متحمل می‌شوند که می‌تواند عایق را ضعیف یا حتی پاره کند، به این دلیل از الیاف برای افزایش و تقویت عایق استفاده می‌شود. یکی از خواص مهم این عایق‌ها مقاومت در برابر کشش است که نوع تقویت کننده اثر زیادی بر آن دارد. به عنوان مثال، عایق‌های تقویت شده با پلی‌استر در مقابل تنش‌های وارد شده خواص بهتری را نسبت به الیاف شیشه نشان می‌دهند [۱]. از طرفی، به دلیل مقدار جذب آب زیاد این الیاف، آنها را با بستر قیری یا قیرهای اصلاح شده با پلیمر آغشته می‌کنند تا ضد آب شوند [۲].

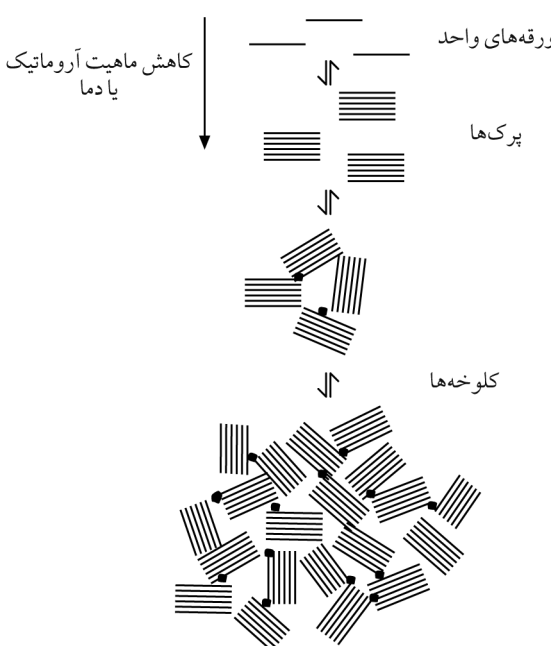
با این توضیح و با وجود این که الیاف بیشترین اثر را در حفظ خواص مکانیکی عایق‌ها دارند، بستر قیری نیز علاوه بر خاصیت ضد آب می‌تواند در اصلاح خواص مکانیکی عایق اثرگذار باشد، به ویژه اگر این قیرها به وسیله پلیمرهای مناسب اصلاح شده باشند. بدین ترتیب که قیر با نفوذ از منافذ الیاف و افزایش نیروهای چسبندگی الیاف، خواص مکانیکی (مدول یا مقاومت کششی) عایق را اصلاح می‌کند. پژوهش‌های متفاوتی روی الیاف مختلف و قابلیت‌های هر یک از آنها در برابر کشش انجام گرفته است [۳، ۴]. بررسی‌های دیگری نیز روی خواص فیزیکی و شیمیایی قیرها برای دست یابی به بستری انعطاف‌پذیر و مقاوم در برابر گرما انجام شده است [۵-۸]. متأسفانه هیچ تحقیق منسجمی روی خواص مکانیکی محصول نهایی (شامل قیر، پلیمر و الیاف تقویت کننده) است. دانستن خواص مکانیکی هر یک از اجزای گفته شده در رسیدن به محصولی ایده‌آل بسیار مؤثر است.

همان طور که گفته شد، خواص مکانیکی الیاف به طور جداگانه بررسی و بهینه سازی شده است، اما تاکنون به مقاومت کششی بستر قیری توجه نشده است. مدول رزین‌های قیری بسیار کمتر از الیاف موجود در عایق‌های رطوبتی است. این مطلب ذهنیت نادرستی را به وجود می‌آورد که رزین قیری هیچ اثری در تقویت مدول عایق‌ها ندارد، در حالی که کلیه استانداردهای آزمون مقاومت کششی عایق‌های رطوبتی تأکید زیادی بر

تولید می کند که معایی مانند: پایداری زمانی کمتر، خاصیت ضد آب کمتر، گرانروی بیشتر برای آغشته کردن الیاف و احتمال بروز تاول در عایق را دارد. این معایب از طریق اختلاط قیر دمیده با مشتقات نفتی هم چون برش H.V.S و قیرهای نرم ترا فعال رفع است.

بررسی قیرهای دمیده نشان می دهد که گروه های آسفالتی رفتارهای فیزیکی، مکانیکی و شیمیایی قیر را کنترل می کنند. بنابراین، مطالعه رفتار آسفالتن ها می تواند به درک بهتر رفتار قیر کمک کند. اصطلاح آسفالتن به یک کمپلکس بزرگ و سنجین با حلقه های آروماتیکی و ناجور حلقه گفته می شود که به زنجیرهای پارافینی متصل شده و به طور معمول بسیار قطبی و محتوی درصد زیادی ناجور اتم، مقداری گوگرد و کمی فلزات سنجین مانند واندیم و نیکل هستند. با این تعریف، ویژگی های آسفالتن ها وابسته به صفحه ای قطبی، گروه های آروماتیک و شاخه های آلیفاتیک است که به صفحه ها متصل شده اند. این آسفالتن ها در بستر مالتن پراکنده شده و بین آنها نیروهای الکتروستاتیک وجود دارد. هنگام افزایش غلظت، آسفالتن ها لخته و مجتمع می شوند. اطلاعات محدودی در مورد چگونگی تجمع آسفالتن ها وجود دارد و مطالعه با پراش پرتو X نشان داده است که لخته شدن آسفالتن ها در دو مرحله انجام می شود (شکل ۱) که تحت تأثیر مقدار روغن ها یا رزین هاست [۱۴].

رزین ها (روغن ها) ترکیباتی بسیار قطبی با خاصیت آروماتیکی زیاد هستند (شکل ۲)، دلیل انحلال مناسب آسفالتن ها (قیرهای دمیده) در رزین ها، ایجاد پیوندهای قوی بین مولکول های آروماتیک آسفالتن ها با رزین هاست (شکل ۳). موقعیت و ابعاد زنجیرهای آلیفاتیک اطراف



شکل ۱- چگونگی تجمع آسفالتن ها در دو مرحله [۱۴].

حالت اولیه نیز اهمیت زیادی دارد. عایق های به کار رفته در عایق های پیش ساخته با میزان به طور پیوسته تحت تنفس و اثر نیروهای مختلف قرار دارند. حال اگر قرار باشد، عایق در اثر اعمال نیرو پاره نشود (مقاومت کششی زیاد) ولی به حالت اولیه خود باز نگردد (مدول کم) در اثر اعمال نیروی مجدد در همان ناحیه عایق مورد نظر به مرور زمان ضعیف شده و کارایی خود را از دست می دهد. با این حال متأسفانه تاکنون این خاصیت مورد توجه قرار نگرفته است. بنابراین، سعی شد با بررسی مدول رزین های تشکیل دهنده عایق ها اولین قدم در تعیین اهمیت خاصیت مکانیکی مدول برداشته شود، تا با بررسی های بعدی اثر رزین های قیری بر مدول الیاف های مختلف عایق ها بهتر مشخص شود. برای درک بهتر رفتار قیرها ابتدا توضیحی مختصراً در مورد انواع قیر و پلیمرهای مورد استفاده داده می شود. قیر ترکیبی سنجین، به رنگ سیاه یا قهوه ای بسیار تیره است که به سه گروه مهم دسته بندی می شوند: قیرهای طبیعی، قیرهای نفتی و قطران ها. از میان آنها فقط قیرهای نفتی و قطران برای تهیه عایق های رطوبتی پیش ساخته مناسب هستند. این قیرها محدوده تغییرات گرانروی زیادی دارند. به این معنی که محدوده دمایی که در آن قیر از حالت ژل به حالت سل تبدیل می شود، چنان وسیع است که این قیرها را برابر ساخت عایق های رطوبتی پیش ساخته مناسب می سازد. در حقیقت، قیر یک باقی مانده گرانرو حاصل از تقطیر دوگانه نفت خام است که حاوی ترکیبات مختلفی است. قیر سنجین باقی مانده از برج تقطیر به منظور آماده سازی برای کاربردهای ساختمانی و صنعتی نیاز به اصلاحاتی دارد که پس از جمع آوری از انتهای برج این اصلاحات روی آن انجام می شود. قیر خام در دمای ۲۶۰°C می شود، در این هنگام هوا یا اکسیژن خالص از طریق لوله های سوراخ شده به درون قیر مایع و داغ دمیده می شود. ادامه هوادهی باعث گرانرو شدن قیر و مناسب تر شدن آن برای اهداف عایق سازی می شود. به وسیله چنین عملیاتی می توان قیرهای متفاوتی با نقطه نرمی از ۵۷ تا ۱۱۰°C تهیه کرد. تشدید اکسایش قیر موجب هیدرورژن زدایی از مولکول های قیر و ایجاد هیدروکربن های جدید در اثر گرما و خروج برخی هیدروکربن های سبک تر می شود. این عملیات تا تشکیل یک ساختار ژل برای قیر و هیدروکربن های آروماتیک سنجین (آسفالتن ها) ادامه می یابد. قیر حاصل اصطلاحاً قیر دمیده (blown bitumen) نامیده می شود. این مسئله، قیر را کشنیدن تر کرده و خواص آن را به سمت خواص مناسب برای تولید عایق (با خواص مکانیکی مناسب و گستره تغییرات دمایی زیاد) هدایت می کند [۱۳]. مقایسه قیر دمیده با قیری که نقطه نرمی کمتری دارد، نشان می دهد که قیر دمیده خواص مکانیکی بهتر و حساسیت گرمایی کمتری دارد و در گستره دمایی وسیع تری از حالت ژل به سل تبدیل می شود. اما، این مزایا قیری با نقطه نرمی بالاتر

پلی پروپیلن بازیافتی استفاده شده از ضایعات دوک های نخ ریسی و از نوع تک نظم PP بود.

دستگاه ها و روش ها

در این پژوهش، از مدول به عنوان عاملی برای تعیین و مقایسه مقدار مقاومت کشسانی مخلوط قیرها و قابلیت آنها در بازگشت به حالت اولیه پس از اعمال نیرو استفاده شده است. مدول نمونه ها از منحنی های تنش - کرنش آنها قابل استخراج است. مطابق استاندارد ملی ۳۸۸۲، نمونه ها تهیه شدند و به وسیله دستگاه کشش مجهز به Load cell مدل ۳۸۳ با ظرفیت 200 kg ساخت شرکت Revers آمریکا مورد آزمون قرار گرفت.

مطابق مراحل ذکر شده در بخش های زیر فرایند اختلاط در ۵ حالت و با درصد های مختلف از مواد اولیه انجام شد. برای هر یک از حالت های آزمایش، ۵ نمونه تهیه گردید. اختلاط با استفاده از مخلوط کن آزمایشگاهی در دمای 180°C و زمان اختلاط 4 h انجام شد و نمونه های حاصل مطابق روش ذکر شده مورد آزمایش قرار گرفتند. مشخصه مقاومت کشسانی (مدول) آنها با استفاده از نمودارهای تنش - کرنش در دمای ثابت 25°C معین گردید. برای تثبیت دمای نمونه ها، قبل از آزمون نمونه ها به مدت 1 h در حمام آب گرم و در دمای 25°C نگهداری شدند.

نتایج و بحث

اختلاط قیر دمیده $110/10$ با H.V.S

در این مرحله درصد های مختلف از برش H.V.S و قیر دمیده $110/10$ با هم مخلوط و نتیجه آزمایش مقاومت کشسانی (مدول) در منحنی تغییرات شکل ۴ رسم شده است.

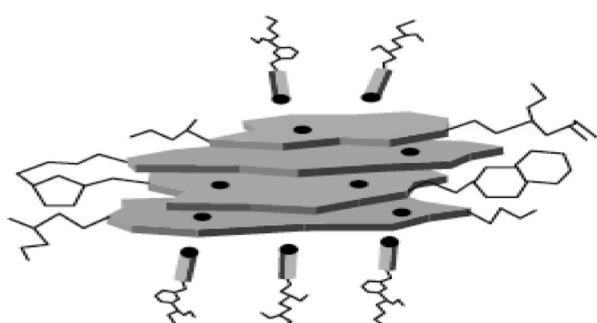
جدول ۱- مشخصات مواد اولیه استفاده شده.

H.V.S	قیر دمیده	قیر $60/70$	مواد	خواص
--	۱۱۰	۵۰		نقطه نرمی
--	۷	۶۵		درجه نفوذ در 0.1 mm در 25°C
--	۰/۵	۷۵+		شکل پذیری در 25°C (cm)
۲۴۸	۳۳۹	۳۳۰		دمای اشتعال ($^\circ\text{C}$)
--	۹۹/۹۱	۹۹/۹۹		انحلال پذیری در تری کلرو اتان (wt%)
۱۹	--	--		گرانزوی در 100°C (cSt)

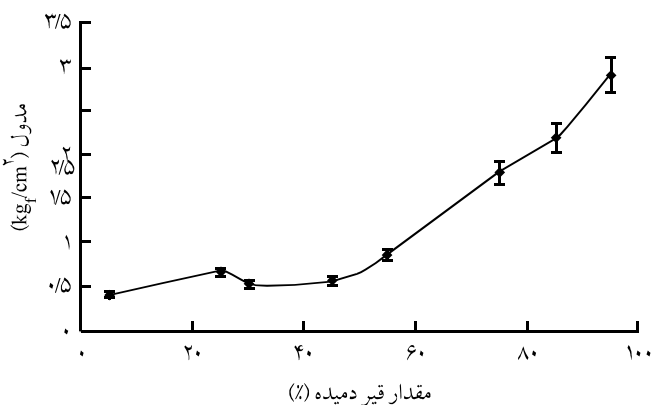
تجربی

مواد

در این پژوهش، از مواد با مشخصات جدول ۱ استفاده شده است.



شکل ۳- چگونگی انحلال آسفالت ها در رزین ها [۱۵].

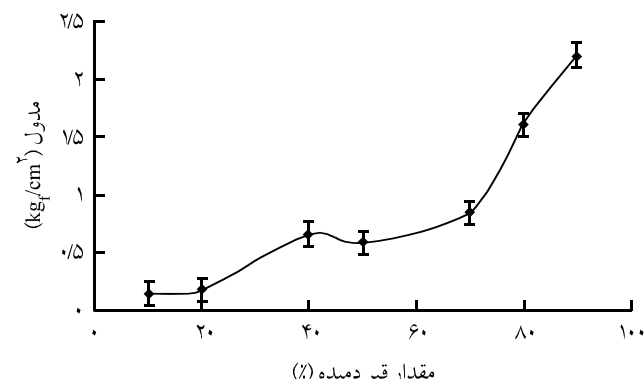


شکل ۶- تغییرات مدول بر حسب افزایش درصد قیر دمیده در مخلوط قیر ۱۰/۱۰ با قیر ۶۰/۷۰ در مقدار ثابت ۵ درصد H.V.S.

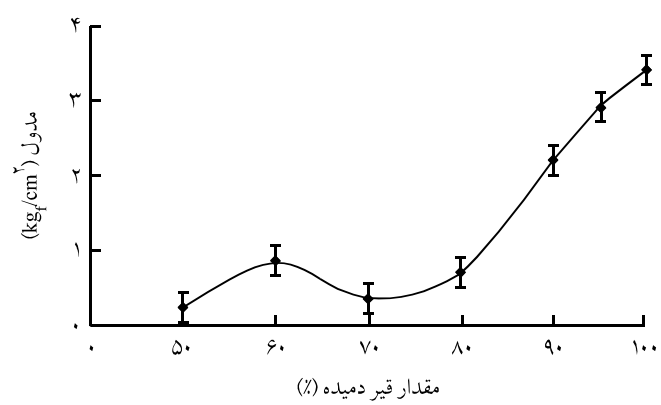
اختلاط قیر دمیده ۱۰/۱۰ با قیر ۶۰/۷۰ در مقدار ثابت ۱۵ درصد H.V.S
در این مرحله درصدهای مختلف از قیر ۶۰/۷۰ و قیر دمیده ۱۰/۱۰ همراه با ۱۵ درصد برش H.V.S با هم مخلوط و نتیجه آزمایش مقاومت کششی (مدول) و منحنی تغییرات در شکل ۸ رسم شده است.

اختلاط قیر دمیده ۱۰/۱۰ با H.V.S در مقدار ثابت ۲ درصد iPP
در این مرحله درصدهای مختلف از برش H.V.S و قیر دمیده ۱۰/۱۰ در مقدار ثابت ۲ درصد iPP با هم مخلوط و نتیجه آزمایش مقاومت کششی (مدول) و منحنی تغییرات در شکل ۹ رسم شده است.

اختلاط قیر دمیده ۱۰/۱۰ با H.V.S در مقدار ثابت ۵ درصد iPP
در این مرحله درصدهای مختلف از برش H.V.S و قیر دمیده ۱۰/۱۰ در مقدار ثابت ۵ درصد iPP با هم مخلوط و نتیجه آزمایش مقاومت کششی (مدول) و منحنی تغییرات در شکل ۱۰ رسم شده است.



شکل ۷- تغییرات مدول بر حسب افزایش درصد قیر دمیده در مخلوط قیر ۱۰/۱۰ با قیر ۶۰/۷۰ در مقدار ثابت ۱۰ درصد H.V.S.

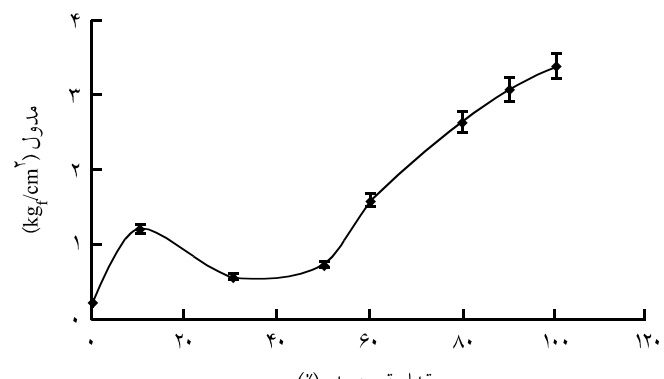


شکل ۴- تغییرات مدول بر حسب افزایش درصد قیر دمیده در مخلوط قیر ۱۱/۱۰ با قیر ۶۰/۷۰

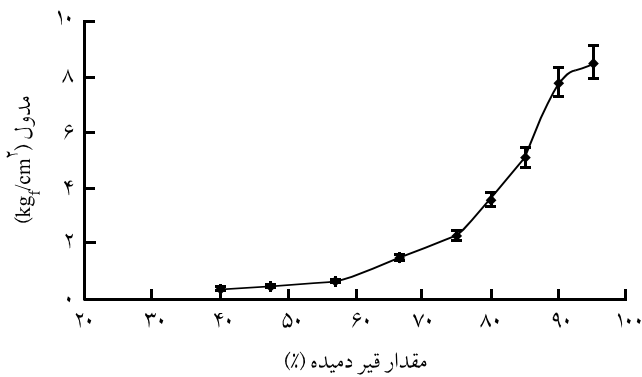
اختلاط قیر دمیده ۱۱/۱۰ با قیر ۶۰/۷۰
در این مرحله درصدهای مختلف از قیر ۶۰/۷۰ و قیر دمیده ۱۱/۱۰ با هم مخلوط و نتیجه آزمایش مقاومت کششی (مدول) و منحنی تغییرات در شکل ۵ رسم شده است.

اختلاط قیر دمیده ۱۱/۱۰ با قیر ۶۰/۷۰ در مقدار ثابت ۵ درصد H.V.S
در این مرحله درصدهای مختلف از قیر ۶۰/۷۰، قیر دمیده ۱۱/۱۰ همراه با ۵ درصد برش H.V.S با هم مخلوط و نتیجه آزمایش مقاومت کششی (مدول) و منحنی تغییرات در شکل ۶ رسم شده است.

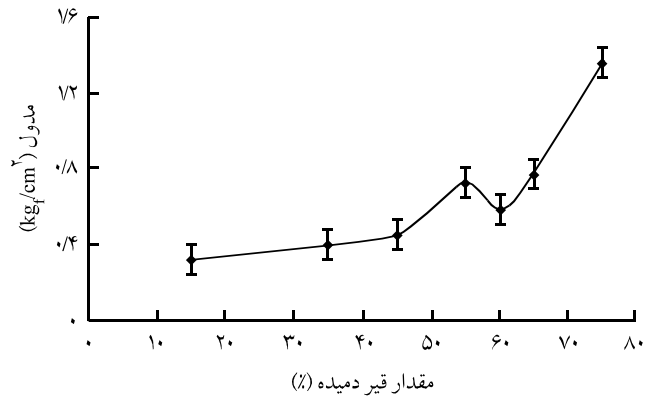
اختلاط قیر دمیده ۱۱/۱۰ با قیر ۶۰/۷۰ در مقدار ثابت ۱۰ درصد H.V.S
در این مرحله درصدهای مختلف از قیر ۶۰/۷۰ و قیر دمیده ۱۱/۱۰ همراه با ۱۰ درصد برش H.V.S با هم مخلوط و نتیجه آزمایش مقاومت کششی (مدول) و منحنی تغییرات در شکل ۷ رسم شده است.



شکل ۵- تغییرات مدول بر حسب افزایش درصد قیر دمیده در مخلوط قیر ۱۱/۱۰ با قیر ۶۰/۷۰



شکل ۱۰- تغییرات مدول بر حسب افزایش درصد قیر دمیده در مخلوط قیر ۱۱۰/۱۰ با قیر ۶۰/۷۰ در مقدار ثابت ۵ درصد iPP.



شکل ۸- تغییرات مدول بر حسب افزایش درصد قیر دمیده در مخلوط قیر ۱۱۰/۱۰ با قیر ۶۰/۷۰ در مقدار ثابت ۱۵ درصد S.H.V.S.

ماهیت آروماتیکی محلول می‌توان از تجمع و لخته شدن آسفالت‌نها جلوگیری کرد. از طرفی کاهش ماهیت آروماتیکی محلول موجب جذب مونومرهای آسفالت‌نی به یک دیگر به وسیله نیروهای واندروالسی می‌شود. در نتیجه آسفالت‌نها شروع به تجمع و لخته شدن می‌کنند [۱۶]. او دلیل انحلال آسفالت‌نها را در حلال تولوئن به افزایش ماهیت آروماتیکی محلول و جدا شدن مونومرهای آسفالت‌نی از یک دیگر نسبت داد و با ارتباط دادن مقدار انحلال پذیری به طول همبستگی (ضخامت یک گروه آسفالت‌نی که از لخته شدن چند مونومر آسفالت‌نی به وجود آمده است) به این نتیجه رسید که در ابتدا (آروماتیکی کم محلول) آسفالت‌نها در فاصله بسیار نزدیکی از یک دیگر قرار دارند، به طوری که مولکول‌های آنها هم پوشانی کرده و این مسئله موجب کاهش مقدار طول همبستگی می‌شود، بدون آن که انرژی هم‌چسبی کاهش یابد. افزایش تولوئن باعث افزایش فاصله آسفالت‌نها از یک دیگر شده و به

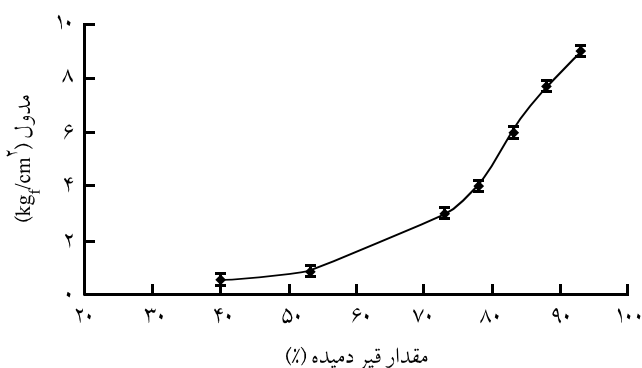
اختلاط قیر دمیده ۱۱۰/۱۰ با H.V.S در مقدار ثابت ۷ درصد iPP

در این مرحله درصدهای مختلف از برش H.V.S و قیر دمیده ۱۱۰/۱۰ در مقدار ثابت ۷ درصد iPP با هم مخلوط و نتیجه آزمایش مقاومت کششی (مدول) و منحنی تغییرات در شکل ۱۱ رسم شده است.

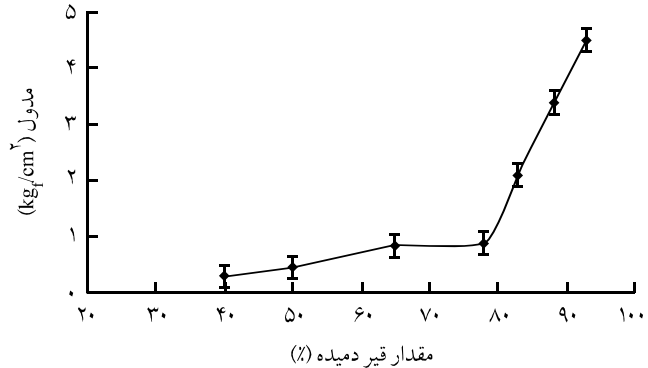
اختلاط قیر دمیده ۱۱۰/۱۰ با H.V.S در مقدار ثابت ۱۰ درصد iPP

در این مرحله درصدهای مختلف از برش H.V.S و قیر دمیده ۱۱۰/۱۰ در مقدار ثابت ۱۰ درصد iPP با هم مخلوط و نتیجه آزمایش مقاومت کششی (مدول) و منحنی تغییرات در شکل ۱۲ رسم شده است.

Spiecker در تحقیقی انحلال آسفالت‌نها را در حلال تولوئن مورد بررسی قرار داد. او با توجه به تحقیقات گذشته اظهار داشت که علت تجمع و لخته شدن گروه‌های آسفالت‌نی کاهش شدید در ماهیت آروماتیکی محلول است و با افزایش حالاتی مناسب و افزایش



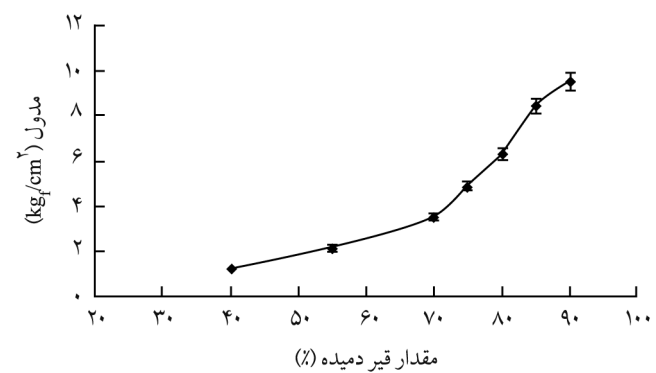
شکل ۱۱- تغییرات مدول بر حسب افزایش درصد قیر دمیده در مخلوط قیر ۱۱۰/۱۰ با H.V.S در مقدار ثابت ۷ درصد iPP.



شکل ۹- تغییرات مدول بر حسب افزایش درصد قیر دمیده در مخلوط قیر ۱۱۰/۱۰ با H.V.S در مقدار ثابت ۲ درصد iPP.

همبستگی شروع به افزایش کرده که اثر آن را می‌توان در تغییرات مدول مشاهده کرد.

در مقادیر بین $65\text{--}80\%$ درصد از قیر دمیده طول همبستگی در آسفالت‌ها بتدریج شروع به افزایش می‌کند که این امر موجب افزایش نیروی واندروالسی بین گروه‌های آسفالت‌تی می‌شود. از طرفی به علت کاهش غلظت آسفالت‌ها فاصله بین گروه‌های آنها افزایش و در نتیجه انرژی هم‌چسبی بین آسفالت‌ها کاهش می‌یابد. این دو عامل در محدوده ذکر شده یک‌دیگر را تا حدودی خشی کرده و در نتیجه موجب می‌شوند، مدول، تغییرات جزئی در این ناحیه داشته باشد. در این ناحیه در واقع مخلوط در حالت گذار از ژل به سل است (شکل ۱۳). اما با افزایش H.V.S یا کاهش غلظت قیر دمیده (آسفالت‌ها) تا مقدار 60% درصد مدول به طور ناگهانی افزایش یافته و موجب پدیدار شدن یک پیک در منحنی می‌شود. این امر نشان می‌دهد که در این مقدار از قیر دمیده با افزایش H.V.S طول همبستگی بین آسفالت‌ها به طور ناگهانی افزایش یافته است و این موضوع موجب افزایش ناگهانی نیروهای واندروالسی بین گروه‌های آسفالت‌تی می‌شود. این افزایش به اندازه‌ای زیاد است که کاهش نیروهای هم‌چسبی در اثر کاهش غلظت و افزایش فاصله بین آسفالت‌ها را جبران کرده و یک مقاومت کششی مناسب در این ناحیه از خود نشان می‌دهد. در واقع، مخلوط در این ناحیه در مرز بین انتقال ژل به سل قرار دارد، یا به بیان Spiecker این نقطه مرز اتحال پذیری آسفالت‌ها به وسیله حلال و روان‌کننده آروماتیک H.V.S است. به عبارت دیگر افزایش برش H.V.S بیشتر از این مقدار

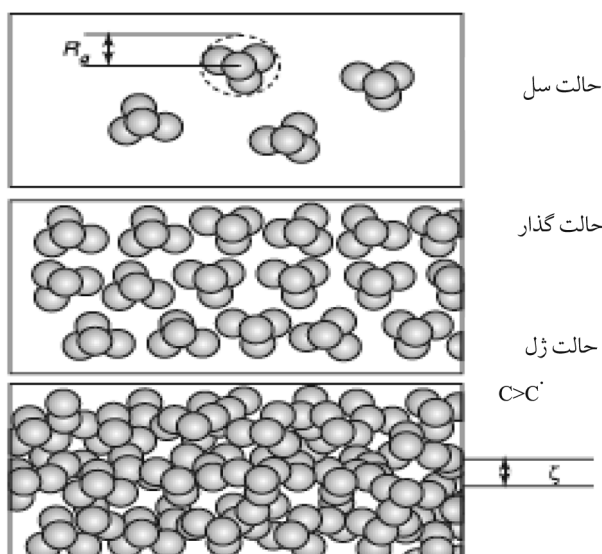


شکل ۱۲- تغییرات مدول بر حسب افزایش درصد قیر دمیده در مخلوط قیر $10/10$ با H.V.S در مقدار ثابت 10% درصد iPP.

طور ناگهانی طول همبستگی افزایش می‌یابد، اما در این حالت انرژی هم‌چسبی شروع به کاهش می‌کند. وی این ناحیه را مرز اتحال پذیری نامید و با ادامه افزایش تولوئن نشان داد که طول همبستگی کاهش ناچیزی دارد [۱۶].

در این جا نیز با توجه به این که نیروهای همبستگی و انرژی‌های چسبندگی عامل‌های مقاومت در برابر کشش هستند، رفتارهای را می‌توان با استناد به یافته‌های Spiecker توجیه کرد.

از طرفی Gawrys بیان کرد که نیروهای بین آسفالت‌ها از نوع نیروهای واندروالسی هستند و با افزایش طول همبستگی، این نیروهای بین مولکولی افزایش می‌یابد [۱۵]. با توجه به شکل ۴ دیده می‌شود که مدول با کاهش درصد قیر دمیده (مقدار آسفالت‌ها) به شدت کاهش می‌یابد، به این دلیل که در ابتدا در غلظت‌های زیاد آسفالت‌بن به علت کاهش ماهیت آروماتیکی مخلوط مونومرها روی یک دیگر رسوب کرده و لخته می‌شوند. از طرفی، آسفالت‌ها به علت ازدیاد غلظت، فاصله بسیار کمی با یک دیگر پیدا کرده‌اند و در نتیجه نیروی هم‌چسبی بین آنها بیشترین مقدار بوده و طول همبستگی بین آنها به دلیل به هم نزدیک بودن آسفالت‌ها و هم پوشانی مولکول‌های آنها با یک دیگر کمی کاهش یافته است. ولی با افزایش H.V.S، این ترکیب به عنوان حلal، ماهیت آروماتیکی مخلوط را افزایش می‌دهد و در بین مولکول‌های آسفالت‌تی نفوذ می‌کند. این امر موجب کاهش انرژی هم‌چسبی بین آنها می‌شود، ولی هنوز طول همبستگی بین آنها تغییری نکرده است. این عوامل در کنار یک دیگر موجب می‌شود که مدول مخلوط با افزایش مقدار کمی از حلal H.V.S کاهش زیادی پیدا کند. با ادامه افزایش H.V.S هم چنان که غلظت آسفالت‌ها کاهش می‌یابد، مانند حالت قبل کاهش انرژی هم‌چسبی، افزایش لغزندگی و افزایش فاصله بین آسفالت‌ها را در پی دارد. با این تفاوت که در این حالت طول



شکل ۱۳- چگونگی انتقال آسفالت‌ها از حالت ژل به سل پس از عبور از حالت گذار [۱۹].

آسفالت‌نی نشان می‌دهد. در این شکل مشاهده می‌شود که در حالت سل (بخش بالای شکل) ذرات آسفالت‌نی به طور کامل از هم فاصله داشته و نیروهای جاذبه بین آنها از بین رفته است، در حالی که در حالت گذار (بخش میانی شکل) حالت واسطه‌ای بین ژل و سل دیده می‌شود که با کوچک‌ترین تنشی تغییرات زیادی در نیروهای بین آسفالت‌نها به وجود می‌آید. در حالی که در حالت ژل آسفالت‌نها آن قدر به یک دیگر نزدیک شده‌اند که حتی با یک دیگر هم پوشانی دارند و این مسئله موجب افزایش نیروهای بین ذرات آسفالت‌نها می‌شود [۱۱]. در این ناحیه طول همبستگی با سرعت بسیار کمی در حال افزایش است و در پی آن نیروهای واندروالسی بین آسفالت‌نها شروع به افزایش می‌کند. این پدیده کاهش انرژی هم‌چسبی در اثر ایجاد فاصله بین آسفالت‌نها را تا حدودی خنثی می‌کند. به این دلیل تغییرات مدول در این ناحیه بسیار آهسته بوده و مخلوط در حال عبور از حالت گذار است.

در ناحیه سوم مانند ناحیه مشابه در شکل ۴ یک پیک در مدول با کاهش غلظت قیر دمیده دیده می‌شود. همان‌طور که بیان شد، پیک ایجاد شده در واقع انتهای حالت گذار است و آسفالت‌نها در نقطه پیک فرست پیدا می‌کنند که طولشان را به طور ناگهانی افزایش دهنند. این افزایش در حقیقت به دلیل ایجاد فاصله مناسب در بین گروه‌های آسفالت‌نی است. این مسئله موجب افزایش ناگهانی نیروهای واندروالسی به دلیل افزایش ناگهانی طول همبستگی در گروه‌های آسفالت‌نی می‌شود. این افزایش ناگهانی نیروهای واندروالسی موجب افزایش ناگهانی انرژی هم‌چسبی با وجود کاهش غلظت آسفالت‌نها نیز می‌شود. در نهایت، مقاومت رزین تهیه شده در برابر نیروهای کششی و مدول افزایش می‌یابد. با مقایسه مجدد این ناحیه با ناحیه مشابه در شکل ۴ مشخص می‌شود که به علت ضعیف بودن قدرت انحلال‌پذیری قیر ۶۰/۷۰ نسبت به H.V.S ناحیه گذار بسیار دیرتر ظاهر می‌شود (در درصدهای کمتر از قیر دمیده) و نقطه پیک مدول نیز در ازای افزایش مقدار بیشتری از حلال ظاهر می‌شود. پس از نقطه پیک، مدول شروع به کاهش می‌کند. زیرا نیروهای هم‌چسبی کاهش یافته و هیچ عاملی برای خنثی‌سازی آن وجود ندارد. تقریباً مخلوط در این ناحیه وارد ساختار سل می‌شود که در آن آسفالت‌نها به طور ذراتی با طول همبستگی کم در بستر روغنی یا رزینی توزیع شده‌اند.

این سه ناحیه هنگامی که قیر ۶۰/۷۰ در مقدار ثابت ۵ درصد H.V.S به قیر دمیده اضافه می‌شود (شکل ۶) نیز دیده می‌شود، با این تفاوت که در ناحیه اول مدول و نیروی هم‌چسبی به دلیل افزایش قدرت انحلال‌پذیری با وجود ۵ درصد H.V.S با شبیب بیشتری نسبت به ناحیه اول در شکل ۵ کاهش می‌یابد. علاوه بر این، پیک مدول در درصدهای

موجب انحلال‌پذیری کامل آسفالت‌نها و نزدیک شدن به ساختار سل می‌شود. پس از این ناحیه همان‌طور که دیده می‌شود، کاهش نیروهای هم‌چسبی و کاهش مدول نمایان می‌شود. زیرا از این نقطه به بعد طول همبستگی تغییر چندانی نمی‌کند، در حالی که انرژی هم‌چسبی آسفالت‌نها به دلیل افزایش فاصله بین آنها کاهش می‌یابد و مخلوط در این ناحیه در ساختار ژل قرار می‌گیرد. این دو اثر در این ناحیه در یک راستا قرار گرفته و موجب کاهش مدول مخلوط می‌شوند.

در شکل ۵ باز هم این سه ناحیه به وضوح دیده می‌شود. ناحیه اول شامل ناحیه‌ای است که بدون وجود یا با مقدار اندکی قیر ۶۰/۷۰ و غلظت زیاد آسفالت‌نها به وجود می‌آید. در این ناحیه و با کاهش غلظت قیر دمیده تا ۵۵ درصد با وجود کم بودن نسبی طول همبستگی (به علت هم‌پوشانی) فاصله بین آسفالت‌نها هنوز کم است. در این حالت انرژی هم‌چسبی زیادی بین گروه‌های آسفالت‌نی وجود دارد و هنگامی که قیر ۶۰/۷۰ به قیر دمیده اضافه می‌شود، مدول رزین تغییرات متفاوتی نشان می‌دهد. در نگاه اول قیر ۶۰/۷۰ را می‌توان مانند H.V.S حلالی برای آسفالت‌نها در نظر گرفت. با توجه به این که با افزایش ماهیت آروماتیکی حلال قابلیت انحلال‌پذیری آسفالت‌نها بیشتر می‌شود [۱۷]، قیر ۶۰/۷۰ انحلال‌پذیری بسیار کمتری نسبت به برش H.V.S دارد، افزون بر این، دارای گروه‌های کوچک آسفالت‌نی با غلظت کم است [۱۸]. در نتیجه افزایش قیر ۶۰/۷۰ موجب انحلال نسبی آسفالت‌نها در قیر دمیده شده و با حفظ طول همبستگی در بین گروه‌های آسفالت‌نی، بین این گروه‌ها فاصله ایجاد می‌کند. در نهایت، کاهش انرژی هم‌چسبی و مدول در برابر کاهش غلظت قیر دمیده تا ۵۵ درصد با شبیب زیاد مشاهده می‌شود (ناحیه اول). از مقایسه این ناحیه با ناحیه مشابه در آزمایش قبل دیده می‌شود که این ناحیه دارای شبیب بیشتر نسبت به زمانی است که قیر دمیده به H.V.S اضافه می‌گردد. علت شبیب کمتر این ناحیه در شکل ۵ نسبت به ناحیه مشابه در شکل ۴ کمتر بودن قدرت انحلال‌پذیری قیر ۶۰/۷۰ و اضافه شدن گروه‌های کوچک آسفالت‌نی است. زیرا، از یک طرف وجود گروه‌های کوچک آسفالت‌نها با طول همبستگی کم مانع از ایجاد ناگهانی فاصله بین گروه‌های بزرگتر آسفالت‌نی شده و از طرف دیگر مالتنهای موجود در قیر ۶۰/۷۰ قابلیت تفکیک مناسب گروه‌های آسفالت‌نی را از هم ندارند. هر دو عامل گفته شده موجب می‌شود که انرژی هم‌چسبی بین گروه‌های آسفالت‌نی با افزایش قیر ۶۰/۷۰ با سرعت کمی کاهش یابد و در نهایت مدول رزین در این ناحیه با شبیب کمی تغییر کند.

ناحیه دوم شامل عبور آسفالت‌نها از یک حالت واسطه‌ای است که موجب می‌شود، حالت ژل به سل تبدیل شود [۱۹]. شکل ۱۳ چگونگی انتقال حالت سل به ژل پس از عبور از حالت گذار را در گروه‌های

مولکولی را افزایش می‌دهد. حال با توجه به شکل ۹ که H.V.S در مقدار ثابت ۲ درصد iPP به قیر دمیده اضافه می‌شود، دو ناحیه مشخص شده است که شامل: ناحیه‌ای که در آن در ابتدا بدون وجود H.V.S آسفالت‌های کمک ذرات iPP به طور قوی با مالتن‌ها پیوند خورده‌اند، ولی به علت کم بودن مقدار iPP در مقابل آسفالت‌های این پوشش به طور کامل انجام نمی‌شود و با افزایش H.V.S کاهش ناگهانی به علت کاهش در نیروهای هم‌چسبی بین آسفالت‌های iPP رخ می‌دهد، تا این که وارد ناحیه دوم و حالت گذار شود.

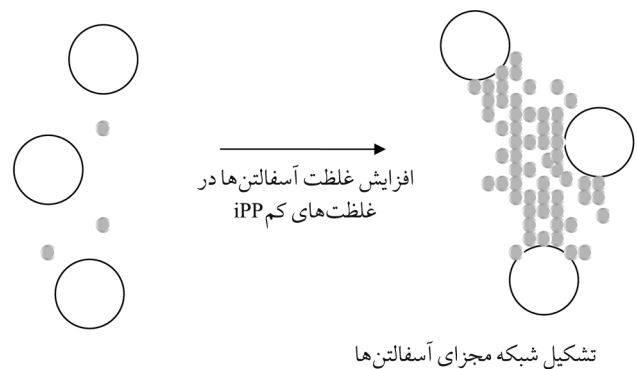
در این ناحیه طول همبستگی در آسفالت‌های شروع به افزایش کرده ولی این افزایش تحت کنترل ذرات بزرگ iPP قرار گرفته و آنها منع از جهش ناگهانی در طول همبستگی و ایجاد پیک در منحنی مدول می‌شوند. در نتیجه آسفالت‌های را وادر می‌کنند که افزایش طول همبستگی را با افزایش H.V.S (افزایش فاصله بین آسفالت‌های) به طور هماهنگ پیش ببرد، به همین دلیل ناحیه دوم یک روند کاهش مدول را با شبیب کم دارد. اما، هنگامی که مقدار iPP به مقدار ثابت ۵ درصد افزایش می‌یابد (شکل ۱۰) باز هم دو ناحیه خودنمایی می‌کند که در ناحیه اول کاهش مدول به ازای افزایش H.V.S با شبیب کمتری نسبت به شکل ۹ پیش می‌رود. علت این امر وجود مقدار بیشتر iPP در مخلوط است. شاید بتوان اثر افزایش غلظت iPP را بر مدول رزین قیری این طور بیان کرد که هرگاه از غلظت‌های کم iPP استفاده شود، ذرات iPP در داخل رزین قیر و برش H.V.S پراکنده شده و از یک دیگر فاصله زیادی می‌گیرند. افزایش غلظت آسفالت‌های را افزایش درصد قیر دمیده تنها پیوندهای بین آسفالت‌های را قویتر می‌کند و اثر زیادی روی واکنش‌های سطحی iPP و آسفالت‌های ندارد. در نتیجه با افزایش آسفالت‌های بدون ایجاد هیچ حد واسطه از حالت ژل به سرعت به ساختار شبکه مجزای آسفالت‌های (segregated-network) تبدیل می‌شود. در این ساختار آسفالت‌های در اثر ازدیاد غلظت طول همبستگی خود را افزایش داده و با یک دیگر پیوندهای واندروالسی قوی ایجاد می‌کنند و در نهایت شبکه‌ای را تولید می‌کنند که ذرات iPP در بین این شبکه در فاصله زیاد از هم قرار می‌گیرند [۲۰]. شکل ۱۴ این مطلب را نشان می‌دهد و مقایسه شکل‌های ۴ و ۹ این مسئله را اثبات می‌کند. اما، زمانی که غلظت iPP در مخلوط زیاد می‌شود، با افزایش غلظت آسفالت‌های پس از ساختار ژل مخلوط تبدیل به ساختار واسطه‌ای می‌شود که ساختار به هم پیوسته در هم نفوذی (interdiffusion-coalescence) نام دارد [۲۰]. در این ساختار در غلظت‌های کم آسفالت‌های ذرات iPP به یک دیگر نزدیک شده و با ایجاد پیوندهایی به داخل یک دیگر نفوذ می‌کنند. این مسئله موجب ایجاد پیوندهای قوی بین ذرات iPP شده و در نتیجه مقاومت

بیشتری از قیر دمیده (در درصدهای کمتری از قیر ۶۰٪) ظاهر می‌شود و نشان‌دهنده این واقعیت است که عبور از حالت گذار با سرعت بیشتری انجام شده به طوری که با افزایش مقدار ۵ درصد از H.V.S نقطه پیک نسبت به شکل ۵ در درصدهای بیشتری از قیر دمیده (در غلظت‌های بیشتری از آسفالت‌های) ظاهر می‌شود. این روند در شکل ۷ جایی که قیر ۶۰٪ در مقدار ثابت ۱۰ درصد H.V.S به قیر دمیده اضافه می‌شود، مجدد تکرار می‌شود و نقطه پیک را به درصدهای بیشتری از قیر دمیده در مقایسه با شکل‌های ۵ و ۶ جایه جامی کند. این امر با افزایش قیر دمیده در مقدار ثابت ۱۵ درصد H.V.S به قیر دمیده (شکل ۸) تکرار شده و نقطه پیک باز هم به سمت غلظت‌های بیشتر آسفالت‌های جایه جا می‌شود.

دلیل این جایه جایی های نقطه پیک کاملاً مشخص است، زیرا هنگامی که برش نفتی H.V.S که ماهیت آروماتیکی بیشتری دارد، به مخلوط قیر دمیده و قیر ۶۰٪ اضافه می‌شود، موجب می‌گردد که گروه‌های آسفالت‌نی راحت‌تر از هم جدا شوند. این امر همچنین، موجب می‌شود که افزایش ناگهانی طول همبستگی در آسفالت‌های (عبور از حالت گذار) در برابر افزایش مقدار کمتری از قیر ۶۰٪ اتفاق بیفتد. به همین دلیل با دقت بیشتر به شکل‌های ۵ تا ۸ یک نظم در جایه جایی پیک‌ها مشاهده می‌شود. به طوری که مقایسه آنها نشان می‌دهد برای ایجاد نقطه پیک با افزایش هر ۵ درصد از H.V.S باید ۱۵ درصد قیر دمیده بیشتری به مخلوط اضافه شود. به عنوان مثال، در شکل ۵ نقطه پیک در ۱۰ درصد از قیر دمیده ظاهر شد، در حالی که با افزایش مقدار ثابت ۵ درصد از H.V.S در شکل ۶ نقطه پیک در ۲۵ درصد از قیر دمیده ظاهر شده است. این روند افزایش ادامه دارد تا جایی که وقتی فقط از قیر دمیده و روان کنده H.V.S استفاده شد (شکل ۴) نقطه پیک در ۶۰ درصد از قیر دمیده ظاهر شد. با بررسی مدول قیرهای پایه اکنون بهتر می‌توان تغییرات مدول قیرهای را با وجود نسبت‌های ثابت ۲، ۵، ۷ و ۱۰ درصد از پلیمر iPP در مخلوط H.V.S و قیر دمیده بررسی کرد.

افزایش iPP به مخلوط قیر دمیده و H.V.S تغییرات مدول را کمی متفاوت می‌کند، نسبت به زمانی که قیر دمیده و H.V.S به تنهایی با هم مخلوط می‌شوند (شکل ۵). به طوری که نقاط پیک حذف شده و فقط دو ناحیه در منحنی‌های تغییرات مدول با افزایش قیر ۱۱۰٪ از از ۱۰٪ می‌شود. از آنجا که iPP دارای زنجیرهای پلی‌اولفینی است، می‌تواند از یک طرف با بخش‌های غیرآروماتیک آسفالت‌های پیوندهای سطحی ایجاد کند و از طرف دیگر با بخش غیرآروماتیک مالتن‌ها و رزین‌ها نیز پیوندهای ضعیفی را برقرار کند. این مسئله موجب تجمع این دو گروه (مالتن‌ها و آسفالت‌های) در کنار یک دیگر شده و قدرت پیوندهای بین

(۱۱) ساختار واسطه بیشتر خود را نشان داده و با افزایش مدول مخلوط، شیب تغییرات مدول را کاهش می‌دهد. با افزایش مقدار ثابت iPP تا ۱۰ درصد (شکل ۱۲) دیده می‌شود که شیب تغییرات کاهش قابل ملاحظه‌ای می‌باشد و به نظر می‌آید، افزایش بیشتر iPP منحنی را تابعی به یک خط با شیب کم پیش می‌برد. در انتها با مقایسه نتایج مدول بهوضوح دیده می‌شود که افزایش iPP به مخلوط قیر و برش H.V.S موجب افزایش مدول مخلوط می‌شود، یا به عبارت دیگر مقاومت کششی آن را بهبود می‌بخشد.



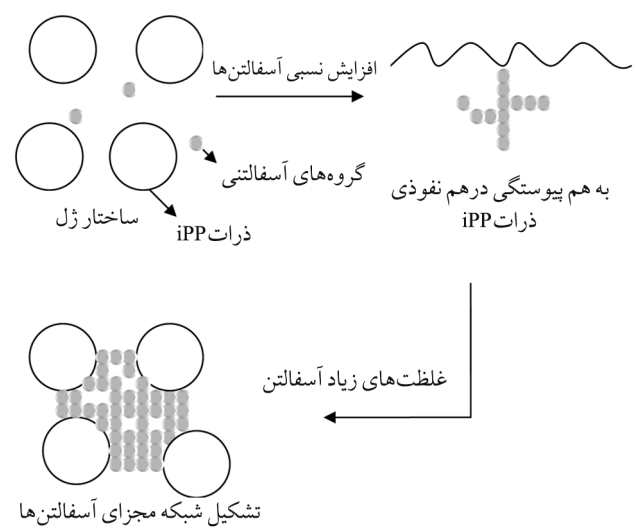
تشکیل شبکه مجزای آسفالت‌ها

شکل ۱۴- تغییر ساختار مستقیم ژل ذرات iPP به شبکه مجزای آسفالت‌تی در غلظت‌های کم آن.

نتیجه گیری

با توجه به نتایج به دست آمده از آزمایش‌ها مشاهده می‌شود که در غیاب پلیمرهایی هم چون iPP رفتار غیرخطی مدول قیرها کاملاً وابسته به نوع رفتار آسفالت‌هاست. این آسفالت‌ها هستند که در کنار بستر رزینی قیر چگونگی رفتار قیر را کنترل می‌کنند، در حالی که آسفالت‌ها به شدت وابسته به نوع رزین و محیطی هستند که در آن قرار می‌گیرند. به طوری که هنگام افزایش روان‌کننده‌ها یا قیرهایی با نقطه نرمی کمتر و به اصطلاح دارای آسفالت‌هایی با طول همبستگی کمتر عکس العمل‌های متفاوتی نشان می‌دهند. در این حالت عبور از حالت ژل به سل در واقع تغییر در شرایط متفاوت آسفالت‌هاست، به طوری که وجود یک پیک در مدول در انتهای حالت گذار کاملاً غیرقابل پیش‌بینی است. در غیاب iPP، آسفالت‌ها مسئول کنترل رفتار قیرها هستند، در انتهای حالت گذار در تمام مخلوط‌ها در مرز انحلال پذیری افزایش ناگهانی در طول همبستگی آسفالت‌ها به وجود می‌آید که نشان دهنده پایان حالت گذار در این نوع مخلوط‌هاست. از مقایسه مجموعه‌ای از مخلوط‌ها که در آنها iPP وجود ندارد، مشخص شد که پایان حالت گذار کاملاً وابسته به نوع و مقدار رزین افزوده شده به آن است، به طوری که استفاده از H.V.S در مقایسه با قیر ۶۰/۷۰ نقطه بیشینه را به سمت راست منتقل می‌کند، یا به عبارت دیگر پایان حالت گذار (نقطه بیشینه) در غلظت‌های بیشتری از آسفالت‌ها یا قیر دمیده ظاهر می‌شود. افزون بر آن، دیده می‌شود که به ازای افزایش هر ۵ درصد از H.V.S به مخلوط، حالت گذار به مقدار ۱۵ درصد بیشتر نسبت به قیر دمیده جایه جا شود. به عنوان مثال، مدول مخلوط قیر دمیده ۱۱۰/۱۰ با قیر ۶۰/۷۰ در مقدار ثابت ۵ درصد برش H.V.S نقطه بیشینه‌ای در حدود ۲۵ درصد نسبت به قیر دمیده دارد. در حالی که مدول مخلوط قیر دمیده ۱۱۰/۱۰ با قیر ۱۱۰/۱۰ در مقدار ثابت ۱۰ درصد برش H.V.S نقطه بیشینه‌ای در حدود ۴۰ درصد نسبت

بیشتری در برابر کشش نشان می‌دهند که اثر آن افزایش مدول رزین قیری است. مقایسه شکل‌های ۹ و ۱۰ نشان می‌دهد که شیب تغییرات مدول به دلیل تشکیل همین ساختار واسطه‌ای و افزایش نسبی پیوندهای بین ذرات iPP کاهش یافته است. با توجه به مطالب گفته شده هرچه غلظت iPP بیشتر باشد، این ساختار واسطه بیشتر خود نمایی می‌کند. زیرا با افزایش غلظت iPP، فاصله این ذرات از یک دیگر کمتر شده و پدیده به هم پیوستگی درهم نفوذی بهتر شکل می‌گیرد. اما، با افزایش آسفالت‌ها، ذرات آسفالت‌ها در بین ذرات iPP قرار گرفته و مانع از به هم پیوستگی درهم نفوذی آنها می‌شوند. با افزایش آسفالت‌ها ساختار مخلوط تبدیل به ساختار شبکه مجزای آسفالت‌تی می‌شود (شکل ۱۵). هنگامی که مقدار iPP به ۷ درصد در مخلوط افزایش می‌باشد (شکل



شکل ۱۵- تشکیل ساختار به هم پیوسته درهم نفوذی ذرات iPP در غلظت‌های زیاد آن.

و هنگام حذف تنش به سرعت به حالت اولیه باز می‌گردند. با مقایسه شکل‌های ۹ تا ۱۲ ملاحظه می‌شود که رشد مدول با افزایش ۵ درصد iPP تفاوت زیادی با افزایش ۷ درصد iPP ندارد، در حالی که وجود ۱۰ درصد iPP تغییر بیشتری در مدول رزین ایجاد می‌کند.

این نتایج نشان دهنده اثر استثنایی و منحصر به فرد پلیمر روزی خواص قیر است. در حالی که سایر اصلاح‌کننده‌ها این خاصیت را ندارند. با این نتایج رفتار قیرها در مقابل افزایش روغن‌ها و پلیمرها قابل پیش‌بینی است و می‌توان زمان عبور مخلوط را از حالت گذار پیش‌بینی کرد. افزون بر آن، می‌توان مدول مورد نظر برای تهیه عایق‌ها و بهینه‌سازی آنها را از طریق این نمودارها استخراج یا پیش‌بینی کرد.

قدرتانی

بدین وسیله از شرکت عایق‌های رطوبتی ایران، خانم نسرین جلیلی و آقای روزبه محبی که امکانات لازم را برای این پژوهش فراهم کرده و خانم الهام تقدير در ویرایش مقاله تشکر می‌شود.

به قیر دمیده دارد. این تغییر تا جایی ادامه دارد که ساختار مخلوط در کنار H.V.S وارد فاز سل شود که در این حالت در ازای افزایش H.V.S هیچ تغییری در نقطه بیشینه ایجاد نمی‌شود. اما هنگامی که پلیمرهای هم چون iPP به مخلوط قیر اضافه می‌شوند، تغییرات مدول وابسته به برهم‌کنش‌های بین ذرات iPP و آسفالت‌ها می‌شود. این برهم‌کنش‌ها موجب می‌شوند، مدول آمیخته‌های قیری با ایجاد ساختار گذار به هم پیوسته درهم نفوذی به طور خطی تغییر کند. با توجه به شکل‌های ۹ تا ۴ دیده می‌شود که در غیاب پلیمر iPP مدول رزین قیری در بهترین شرایط مقدار بسیار کمی است. این پدیده موجب می‌شود که این عایق‌ها به سرعت در برابر تنش ایجاد شده تغییر حالت داده و تضعیف شوند، در حالی که وجود iPP حتی در مقدارهای کم، مدول رزین را به شدت iPP افزایش می‌دهد. افزایش مدول رزین در اثر افزایش پلیمر نشان دهنده مقاومت کشسانی زیاد رزین در مقابل تنش‌های وارد شده است. به عبارت دیگر، عایق‌های تهیه شده از این رزین‌ها هنگام اعمال نیروهای خارجی علاوه بر مقاومت به راحتی آرایش خود را حفظ کرده

مراجع

1. Jolitz R., Pierce H.H., Daniel S. and Donoho D., An Analysis of Load-strain Properties of SBS-Modified Bitumen Roofing, *Proceeding of the Fourth International Symposium on Technology*, Gaithersburg, 278-284, 1996
2. Stam M.J., Key C. and Bouw K.D., Glassmat as a Base fore Bituminous Roofing Membranes, *Symposium on Roofing Technology*, Maassluis, Holland, **14**, 96-104, Sept. 21-23, 1977.
3. Allen D.J., Phalen J.R.T.E., Stress-strain Characteristics for EPDM, CSPE and PVC for the Development of Stresses in Membranes Utilized as Single-ply Roof Systems, *Third International Symposium on Roofing Technology*, Gaithersburg, 487-493, 1991.
4. Brodland G.W., Dell M.J. and Burnett E.F.P., Finite Element Modeling of Reinforced Bitumen Membranes, *Third International Symposium on Roofing Technology*, Gaithersburg, 21-25, 1991.
5. Jones P.M. and Garden G.K., Properties of Bituminous Membranes, NRC-IRC (National Research Council Canada, Institute-for Research in Construction), Canada, February 1966.
6. Turenne R.G., Stenman H.K., Mech M.N. and Dutt O., Single-ply Membranes-effect of Cold Temperature and Heat Aging on Tensile Properties, *Third International Symposium on Roofing*, Gaithersburg, 7-14, 1991.
7. Porcher J., Herbert J.R. and Busching W., A Laboratory Investigation of Thermo-mechanical Properties of Polymer Modified Roofing Bituminous, *Second International Symposium on Roofing Technology*, Gaithersburg, 62-68, 1985.
8. Hadadi V., Yousefi A.A., Moeini A.R., Ganji T. and Khosravi M., Bituminous Blends for Different Application, *J. Color. Sci. Technol.*, **1**, 7-19, 2007.
9. Hadadi V., Yousefi A.A., Ganji T.M. and Khosravi M., Mechanical Properties of Non-Woven Polyester Fibers and Polymer-Modified Bitumen Composites, *Iran. J. Polym. Sci. Technol.*, **20**, 489-502, 2007.
10. Hadadi V., Yousefi A.A., Ganji T.M. and Khosravi M., Mechanical Properties and Modeling of Fiber-Glass/Polymer-Modified Bitumen Composites, *Submitted to Iran. Polym. J.*, 2007.
11. Steffe F.J, *Rheological Methods in Food Process Engineering*, 2nd ed., Freeman, East Lansing, USA, Chap.1, 8-13, 1996.
12. Ward I.M. and Hadley D.W., *An Introduction to the Mechanical Properties of Solid Polymers*, John Wiley and Sons, New York, Chap. 2, 2-130, 1996.

13. Ggriffin C.W. and Fricklas R.L., *The Manual of Low-slope Roof System*, 3rd ed. McGraw Hill, New York, Chap.13, 280-300, 1982.
14. Christopher J., Sarpal A.S., Karishna G.S. and Tyagi M.C., Jain S.K. and Bhatnagar A.K., Chemical Structure of Bitumen-derived Asphaltenes by Nuclear Magnetic Resonance Spectroscopy and X-ray Diffractometry, *Fuel*, **75**, 999-1008, 1996.
15. Gawrys K.L., *How Asphaltenes Aggregate: Role of Chemistry and Solvent*, PhD Dissertation, North Carolina State University, 2005.
16. Spiecker P.M., *The Impact of Asphaltene Chemistry and Salvation on Emulsion and Interfacial Film Formation*, PhD Dissertation, North Carolina State University, 2002.
17. Fredrich F., *Effect of Non-condensable on the Vapex Process*, PhD Dissertation, Waterloo, Ontario, Canada, 2005.
18. *The Shell Bitumen Handbook*, Shell Oil Co., Chap. 2, 1989.
19. Saniere A., Henaut I. and Argillier J.F., Pipeline Transition of Heavy Oils, a Strategic, Economic and Technological Challenge, *Oil Gas Sci. Technol. J.*, **59**, 455-466, 2004.
20. Harris J., *Electrically Conductive Latex-Based Composites*, *TiiMS 3rd Annual Review and Conference*, North Carolina A&T State University, August 2-3, 2005.